

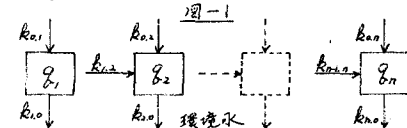
京大工 正員 岩井重久 井上頼輝 ○寺島泰

被膜性物質による水産生物の汚染は、直接的汚染と間接的汚染に大別されるが、自然界ではこの二つは同時に併行して起こり、である。直接汚染の場合には生物体表面に汚染が起こるが、二小洋魚重身よりの表面積の大きい生物、生じ部分に著しい。これらの汚染物質は体の内外の表面を通り血液や体内に入り、問題となる器官(Critical organ)に到達。蓄積したときに過剰分が排泄される。間接汚染は、直接汚染によらず、生じた汚染物質が経口的に水産生物が摂取するにより、飛起されるので、複雑な食物連鎖の経路にかかるが、不規則性物質は極めて多く。

こうした污染による生物体内濃度の変化は、攝取と体外への排泄速度によつて決定されるが、前者は環境水中濃度と絶対摂取量による生物体内濃度に、後者は問題として、生物体内濃度に比例すると思われる。したがつて、第1段生物、第2段生物体内濃度変化の基礎式は次の変化は、(1)～(4)式のように表わされる。ここに、 g_m 、 C は第1段生物、水中の放射性物質濃度、 k_{on} 、 k_{off} は第1

$$\frac{d\bar{g}_1}{dt} = k_{21}C - k_{10}g_1 \quad \dots \dots \dots \quad (1) \quad g_1 = k_{21} e^{-k_{10}t} \int_0^t C e^{k_{10}t} dt \quad \dots \dots \dots \quad (2)$$

$$\frac{d g_n}{dt} = k_{on} C + k_{off,n} g_{n+1} - k_{on} g_n \quad (3) \quad g_n = k_{on} e^{-k_{on} t} \int^t (C + \frac{k_{off,n}}{k_{on}} g_{n+1}) e^{k_{on} t} dt \quad (4)$$



光小水中から M段生物への獲取速度定数、M段生物から水中への排泄速度定数、 k_{MN} は M-1段生物から M段生物への僅な獲取速度定数である。 λ が小を意味する。生物種、

問題とすると、器管、放射性元素の種などによって異なる。(4)式によれば、1段生物体内濃度変化を解析するには環境水と1段生物体内の濃度、採取、排泄に関する各速度定数を明らかにしなければならないが、特に後者の決定には種々の困難な問題がある。これらについての論議は別の機会にゆずり、今回は環境水中濃度が変化する場合の1段生物体内濃度変化につき、理論的、実験的検討結果を報告する。

直接経塗に与え第一段生物の体内濃度変化は、環境水中濃度が一定の場合 $g = k_{1,10} C \{1 - \exp(-k_{1,10} t)\}$ となる。定常状態での $g/C (= k_{1,10}/k_{1,10} = K)$ はいわゆる濃縮係数であり、また K が平衡値の $1/2$ に達するに要する時間は $T_{1/2} = 0.693/k_{1,10}$ となるから、これらを実測することにより $k_{1,10}$, $k_{2,1}$ が求められる。これらの値を用ひ、(2)式にと、 T C が時間的に変化する場合の K を規定することができる。

$$C(t) = C_0 e^{-at} \quad \dots \dots (5) \quad g = C_0 K \frac{k_{in}}{k_{in} - a} (e^{-at} - e^{-k_{in}t}) \quad \dots \dots (6) \quad g_{max} = C_0 K \frac{k_{in}}{k_{in} - a} \left(\left(\frac{a}{k_{in} - a} \right)^{\frac{1}{k_{in}}} - 1 \right) \quad \dots \dots (7)$$

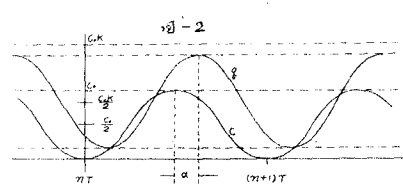
においてそれが最大となる。また、水中濃度が $0 \sim C_0$ の間で過剰干式で運動する場合(図 19)のよう

$$C(t) = \frac{C_0}{2} \left(1 - \cos \frac{2\pi}{T} t \right) \quad \dots \quad (8) \quad g = \frac{C_0 K}{2} \left\{ 1 - \frac{1}{1 + \left(\frac{K_0 T}{2\pi} t \right)^2} e^{-k_0 t} - \sqrt{\frac{1}{1 + \left(\frac{2\pi}{T} k_0 t \right)^2}} \sin \left(\frac{2\pi}{T} t + \alpha \right) \right\}$$

$$\tan \delta = \frac{R_{1,0} T}{2\pi} \quad \text{--- (9)}$$

示される。充分時間が経過するとき(1)式、図-2に示すように各は $C_0 K/2$ を平均値とし、周期Tで3

$$g = \frac{C_0 K}{2} \left\{ 1 - \sqrt{\frac{1}{1 + (2\pi/k_{10}T)^2}} \sin\left(\frac{2\pi}{T}t + \alpha\right) \right\} \quad \text{--- (11)}$$



振動曲線となる。以降水中濃度変化からの位相のおくべくあ
る。また、生物体内濃度の最大値は(12)式を示すように、水中濃度の $K/2 \cdot \{1 + \sqrt{1/(1 + (2\pi/k_{10}T)^2)}\}$ 倍となり、Kが一定であるものについては、水中濃度変化の周期、排泄速度係数が大きくなるほど、 g_{max} も大きくなる。

次に、環境水中放射性物質濃度が、永続的拡散混合により減少する場合の体内濃度変化を解析する。
放射性廃水が初期に半衰期をもつ均質状態に排出されたとするとき、最大濃度地点における水中濃度変化は

$$C = C_0 (1 - e^{-k_{10}Dt}) \quad \text{--- (13)} \quad \frac{g}{C_0 K} = k_{10} e^{-k_{10}t} \int_0^t (1 - e^{-k_{10}D(t-t')}) e^{k_{10}t'} dt \quad \text{--- (14)}$$

(13)式のように求まる。Dは拡散係数である。これが、生物体内濃度変化は(14)式で与えられる。
ここで、(14)式を k_{10} , $\frac{g}{C_0 K}$ の函数とせば(15)式のように関係が得られる。つまり、 $C_0 K$ が
 $\frac{g}{C_0 K}(k_{10}, \frac{g}{C_0 K}, t) = \frac{g}{C_0 K} \left(\frac{k_{10}}{m} \cdot \frac{m^2}{D} \cdot mt \right) \quad \text{--- (15)}$

$\frac{g}{C_0 K}(k_{10}, \frac{g}{C_0 K}, t) = \frac{g}{C_0 K} \left(\frac{k_{10}}{m} \cdot \frac{m^2}{D} \cdot mt \right) \quad \text{--- (15)}$ $g_{max} = K C(t) \quad \text{--- (16)}$ $\frac{g_{max}}{C_0 K} = \frac{C(t)}{C_0} \quad \text{--- (17)}$
一定の場合、ある k_{10} , $\frac{g}{C_0 K}$ の値に対する時間 $t = t'$ で g が最大となるとき、 $k_{10}/m \cdot m^2/D$ の値に対しては $t = m t'$ が最大となり、そのための値は常に零である。そのためのとき $dg/dt = 0$ であるから(16)式、これが(17)式の関係が成立する。これらの関係を整理し、 k_{10} の値と1では $T_{1/2} = 0.5$ ~ 10日に対応する $0.05774 (\text{hr})$ ~ $0.002887 (\text{hr})$ の間に相当する $\frac{g}{C_0 K}$ の値と1では $1, 10, 10^2 (\text{hr})$ の3段階で(1)
(14)式の数値解析を行なう。たゞ $\frac{g}{C_0 K} = 1 (\text{hr})$ の場合(図-3)、水中濃度は2時間まで初期濃度の $K/2$ 以下に減少するが、一方体内濃度は最初から大部分が短時間に最大値に達するかを除き、水中濃度減少に伴ない急速に減少する。最初から減少する短時間で最大値に近づく値に達して以後緩やかに増加し、相当時間の後に最大となる。その後の減少速度は小さく長時間後においても体内残留濃度は大きい。また、 $\frac{g}{C_0 K}$ の最大値は、 $\frac{g}{C_0 K}$ の値と1では前述と同じ様な比例関係を有するが、最大値と時間、最大値と大きさに増大する。(图省略)

同じく同様の傾向がみられるが、比較的大分子体内残存時間と持

時間も相当長くなる。(图省略)

この他、理論的根柢の明確ではないが、各 k_{10} の値に対する $\log \frac{g_{max}}{C_0 K}$ と $\log \frac{g}{C_0 K}$ が(图-4)、同様に各 $\frac{g}{C_0 K}$ の値に対する $\log k_{10}$ が近似的な直線関係を示している。

以上の考察に対する実験的検討結果については講演時發表する定めである。

図-4 $\frac{g_{max}}{C_0 K}$ と $\frac{g}{C_0 K}$ の関係

